

UNIVERSIDADE DE SÃO PAULO

## EP2 - MAP3121

UM PROBLEMA INVERSO  PARA OBTENÇÃO DE DISTRIBUIÇÃO  
DE TEMPERATURA

MAP3121

NOME  
Otavio Henrique MONTEIRO

NUSP  
10774159

10 de Julho de 2020

# Conteúdo

<b>1</b>	<b>Introdução e Objetivos</b>	<b>2</b>
<b>2</b>	<b>Desesenvolvimento</b>	<b>2</b>
2.1	Tarefas . . . . .	2
2.1.1	Item (a) . . . . .	2
2.1.2	Item (b) . . . . .	3
2.1.3	Item (c) . . . . .	4
2.2	Testes . . . . .	4
2.2.1	Item (a) . . . . .	4
2.2.2	Item (b) . . . . .	4
2.2.3	Item (c) . . . . .	5
2.2.4	Item (d) . . . . .	7
<b>3</b>	<b>Referências</b>	<b>8</b>

# 1 Introdução e Objetivos

A distribuição de temperatura numa barra foi estudada no EP1, utilizando métodos numéricos para a determinação do problema direto, que é dado pela seguinte equação diferencial parcial:

$$\begin{aligned}u_t(t, x) &= u_{xx}(t, x) + f(t, x) \text{ em } [0, T] \times [0, 1] \\u(0, x) &= u_0(x) \text{ em } [0, 1] \\u(t, 0) &= g_1(t) \text{ em } [0, T] \\u(t, 1) &= g_2(t) \text{ em } [0, T]\end{aligned}\tag{1}$$

Na segunda parte do exercício programa iremos desenvolver a solução do problema inverso da equação do calor, ou seja, determinar as intensidades de fontes de calor a partir dos valores finais da temperatura (em tempo  $T$ ). Pelo método de Cranck-Nicolson (desenvolvido no EP1) iremos encontrar vetores referentes à distribuição de temperatura para diferentes forçantes (cada em um ponto  $p_k$ ,  $k$  de 1 a  $nf$ ). Iremos então montar o sistema linear correspondente à solução pelo método dos Mínimos Quadrados, que sera solucionado por meio do uso da decomposição  $LDL^t$ . Realizados os testes de funcionamento, utilizaremos uma distribuição final de temperatura fornecida,  $u_T(x)$ , para determinar os valores de intensidade das fontes em pontos já conhecidos (sem e com ruído).

## 2 Desesenvolvimento

### 2.1 Tarefas

#### 2.1.1 Item (a)

Para os diferentes pontos  $p_1, \dots, p_k$  temos fontes descritas por  $f(t, x) = r(t)g_h^k(x)$ ,  $k = 1, \dots, nf$ , onde definimos  $g_h^k(x) = \frac{1}{h}$ , se  $p_k - \frac{h}{2} \leq x \leq p_k + \frac{h}{2}$  e  $g_h^k(x) = 0$  caso contrário e escolhemos  $r(t) = 10(1 + \cos(5t))$ . Escolhemos também  $u_0(x) = 0$  e  $g_1(t) = g_2(t) = 0$ . Assim, utilizando o método de Cranck-Nicolson desenvolvido no EP1 e descrito na equação 2.1.1 encontramos os vetores  $u_k(T, x_i)$ ,  $i = 1, \dots, N - 1$ , considerando que  $M = N$ .

$$\begin{bmatrix} 1+\lambda & -\frac{\lambda}{2} & 0 & \cdots & 0 \\ -\frac{\lambda}{2} & 1+\lambda & -\frac{\lambda}{2} & \cdots & 0 \\ 0 & \ddots & \ddots & \ddots & 0 \\ \vdots & \ddots & \ddots & 1+\lambda & -\frac{\lambda}{2} \\ 0 & \cdots & 0 & -\frac{\lambda}{2} & 1+\lambda \end{bmatrix} \times \begin{bmatrix} u_1^{k+1} \\ u_2^{k+1} \\ \vdots \\ u_{N-2}^{k+1} \\ u_{N-1}^{k+1} \end{bmatrix} = b$$

$$b = \begin{bmatrix} u_1^k + \frac{\lambda}{2}(u_0^k - 2u_1^k + u_2^k) + \frac{\Delta t}{2}(f_1^k + f_1^{k+1}) + \lambda g_1(t^{k+1}) \\ u_2^k + \frac{\lambda}{2}(u_1^k - 2u_2^k + u_3^k) + \frac{\Delta t}{2}(f_2^k + f_2^{k+1}) \\ \vdots \\ u_{N-2}^k + \frac{\lambda}{2}(u_{N-3}^k - 2u_{N-2}^k + u_{N-1}^k) + \frac{\Delta t}{2}(f_{N-2}^k + f_{N-2}^{k+1}) \\ u_{N-1}^k + \frac{\lambda}{2}(u_{N-2}^k - 2u_{N-1}^k) + \frac{\Delta t}{2}(f_{N-1}^k + f_{N-1}^{k+1}) + \lambda g_2(t^{k+1}) \end{bmatrix} \quad (2)$$

### 2.1.2 Item (b)

Devemos então montar o sistema linear correspondente à solução do problema de mínimos quadrados, descrito pela equação 3. Sabendo que o produto interno pode ser descrito por  $\langle u, v \rangle = \sum_{i=1}^{N-1} u(x_i)v(x_i)$ .

$$\begin{bmatrix} \langle u_1, u_1 \rangle & \langle u_2, u_1 \rangle & \cdots & \langle u_{nf}, u_1 \rangle \\ \langle u_1, u_2 \rangle & \langle u_2, u_2 \rangle & \cdots & \langle u_{nf}, u_2 \rangle \\ \vdots & \vdots & \ddots & \vdots \\ \langle u_1, u_{nf} \rangle & \langle u_2, u_{nf} \rangle & \cdots & \langle u_{nf}, u_{nf} \rangle \end{bmatrix} \times \begin{bmatrix} a_1 \\ a_2 \\ \vdots \\ a_{nf} \end{bmatrix} = \begin{bmatrix} \langle u_T, u_1 \rangle \\ \langle u_T, u_2 \rangle \\ \vdots \\ \langle u_T, u_{nf} \rangle \end{bmatrix} \quad (3)$$

Inferimos, desse modo, que  $u_T(x) = \sum_{k=1}^{nf} a_k u_k(T, x)$ , pois podemos verificar na primeira linha do sistema 3 que:

$$\langle u_T, u_1 \rangle = \sum_{i=1}^{N-1} u_T(x_i)u_1(x_i) = a_1 \cdot [\sum_{i=1}^{N-1} u_1(x_i)u_1(x_i)] + a_2 \cdot [\sum_{i=1}^{N-1} u_2(x_i)u_1(x_i)] + \cdots + a_{nf} \cdot [\sum_{i=1}^{N-1} u_{nf}(x_i)u_1(x_i)].$$

Podemos colocar os coeficientes  $a_k$  dentro das somatórias e simplificá-las temos:

$$\sum_{i=1}^{N-1} u_T(x_i)u_1(x_i) = \sum_{i=1}^{N-1} [a_1 u_1(x_i)u_1(x_i) + a_2 u_2(x_i)u_1(x_i) + \cdots + a_{nf} u_{nf}(x_i)u_1(x_i)]$$

Observando a presença de  $u_1(x_i)$  em ambos os lados da equação, é trivial notar a relação apontada anteriormente entre  $u_T$ ,  $a_k$  e  $u_k(T, x_i)$ .

### 2.1.3 Item (c)

Diferentemente dos sistemas lineares do EP1, o sistema correspondente ao problema dos mínimos quadrados não gera uma matriz esparsa nem tridiagonal. Desse modo, foi necessário readaptar o código utilizado no EP1 de modo a, utilizando o método de decomposição de matrizes simétricas de Cholesky e solucionando os sistemas encontrados, encontrar as intensidades do sistema linear referente ao problema de mínimos quadrados. Inicialmente decompomos a matriz da forma de  $A$  da equação 3 em  $LDL^t$ , solucionando como:  $Ax = b \rightarrow LDL^t x = b$ ,  $LDy = b$ ,  $L^t x = y$ .

## 2.2 Testes

Para todos os testes foram utilizados  $T = 1$  e  $r(t) = 10(1 + \cos 5t)$ .

### 2.2.1 Item (a)

Utilizamos para esse item as seguintes definições:

- $N = 128$
- $nf = 1$
- $p_1 = 0.35$
- $u_T(x_i) = 7u_1(T, x_i)$

Desse modo o programa encontrou  $a_1 = 7$ , sendo a solução trivial de  $[164.171][a_1] = [1149.2]$ . Para tal foi utilizada a hipótese de que  $\langle u_T, u_1 \rangle = \langle 7u_1, u_1 \rangle = 7 \langle u_1, u_1 \rangle$ , verificável pelo produto interno analisado anteriormente. O mesmo raciocínio foi aplicado ao Item (b), que define  $u_T$  como uma combinação linear de  $u_1, \dots, u_{nf}$ .

### 2.2.2 Item (b)

Utilizamos para esse item as seguintes definições:

- $N = 128$
- $nf = 4$
- $p_1 = 0.15$ ,  $p_2 = 0.3$ ,  $p_3 = 0.7$ ,  $p_4 = 0.8$
- $u_T(x_i) = 2.3u_1(T, x_i) + 3.7u_2(T, x_i) + 0.3u_3(T, x_i) + 4.2u_4(T, x_i)$

Encontramos assim o sistema de equações da problema de mínimos quadrados para o calculo das intensidades:

$$\begin{bmatrix} 58.4773 & 83.9374 & 51.9131 & 36.2994 \\ 83.9374 & 141.673 & 99.6944 & 70.2609 \\ 51.9131 & 99.6944 & 141.673 & 109.786 \\ 36.2994 & 70.2609 & 109.786 & 91.2151 \end{bmatrix} \begin{bmatrix} a_1 \\ a_2 \\ a_3 \\ a_4 \end{bmatrix} = \begin{bmatrix} 613.097 \\ 1042.25 \\ 991.872 \\ 759.493 \end{bmatrix}$$

Derradeiramente, achamos os valores das intensidades (como esperado, são os mesmos valores de intensidade fornecidos anteriormente):

- $a_1 = 2.3$  ,  $a_2 = 3.7$  ,  $a_3 = 0.3$  e  $a_4 = 4.2$

### 2.2.3 Item (c)

Para esse item, os dados são adquiridos do arquivo *teste.txt*, que contém os pontos em que existem fontes, bem como a temperatura final para 2048 pontos. Temos assim, as seguintes considerações:

- $N = 128, 256, 512, 1024$  e  $2048$
- $nf = 10$
- $p_1 = 0.14999999999999999$  ,  $p_2 = 0.20000000000000001$  ,  $p_3 = 0.29999999999999999$  ,  $p_4 = 0.34999999999999998$  ,  $p_5 = 0.50000000000000000$  ,  $p_6 = 0.59999999999999998$  ,  $p_7 = 0.69999999999999996$  ,  $p_8 = 0.72999999999999998$  ,  $p_9 = 0.84999999999999998$  ,  $p_{10} = 0.90000000000000002$

O valor de N a ser utilizado será selecionado em tempo de execução pelo usuário, e os pontos serão escolhidos de acordo com a relação de N com 2048 (i.e. tomam-se os valores de  $\frac{2048}{N}$  em  $\frac{2048}{N}$ ).

Assim, chegamos aos valores de  $a_k$ , com  $k = 1, \dots, nf$  para os diferentes valores de N escolhidos.

[a]	N=128	N=256	N=512	N=1024	<i>N=2048</i>
<b>a1</b>	2,78	1,65	1,25	1,11	<i>1,00</i>
<b>a2</b>	3,89	4,64	4,86	4,93	<i>5,00</i>
<b>a3</b>	2,06	2,16	2,07	1,99	<i>2,00</i>
<b>a4</b>	1,33	1,30	1,42	1,50	<i>1,50</i>
<b>a5</b>	2,41	2,32	2,23	2,20	<i>2,20</i>
<b>a6</b>	3,00	3,05	3,07	3,09	<i>3,10</i>
<b>a7</b>	0,44	0,53	0,65	0,66	<i>0,60</i>
<b>a8</b>	1,43	1,36	1,26	1,25	<i>1,30</i>
<b>a9</b>	4,77	4,34	4,04	3,93	<i>3,90</i>
<b>a10</b>	-1,20	-0,35	0,21	0,42	<i>0,50</i>

Tabela 1: Intensidades encontradas para diferentes valores de N, com  $u_T$  original fornecido (item c)

Após encontrados os valores de intensidade, podemos calcular os valores de temperatura final (para as intensidades encontradas) por:  $\sum_{k=1}^{nf} a_k u_k(T, x_i)$ , como verificada anteriormente. Definimos o erro quadrático discreto pela equação 4, calculando seu valor para cada N.

$$E = \sqrt{\Delta x \sum_{i=1}^{N-1} \left( u_T(x_i) - \sum_{k=1}^{nf} a_k u_k(T, x_i) \right)^2} \quad (4)$$

	N=128	N=256	N=512	N=1024	N=2048
<b>E</b>	0,1714230	0,0842522	0,0361489	0,0124500	0,0009696

Tabela 2: Erro quadrático calculado para diferentes valores de N, entre as temperaturas encontradas e as temperaturas originais fornecidas.

Podemos ver que o valor de temperatura final encontrada converge para a original com o aumento no valor de N, minimizando o erro, que tem seu menor valor para N= 2048. Isso pode ser visto também nos gráficos correspondentes à reconstrução do valor final com as intensidades encontradas em comparação com o valor oficial.

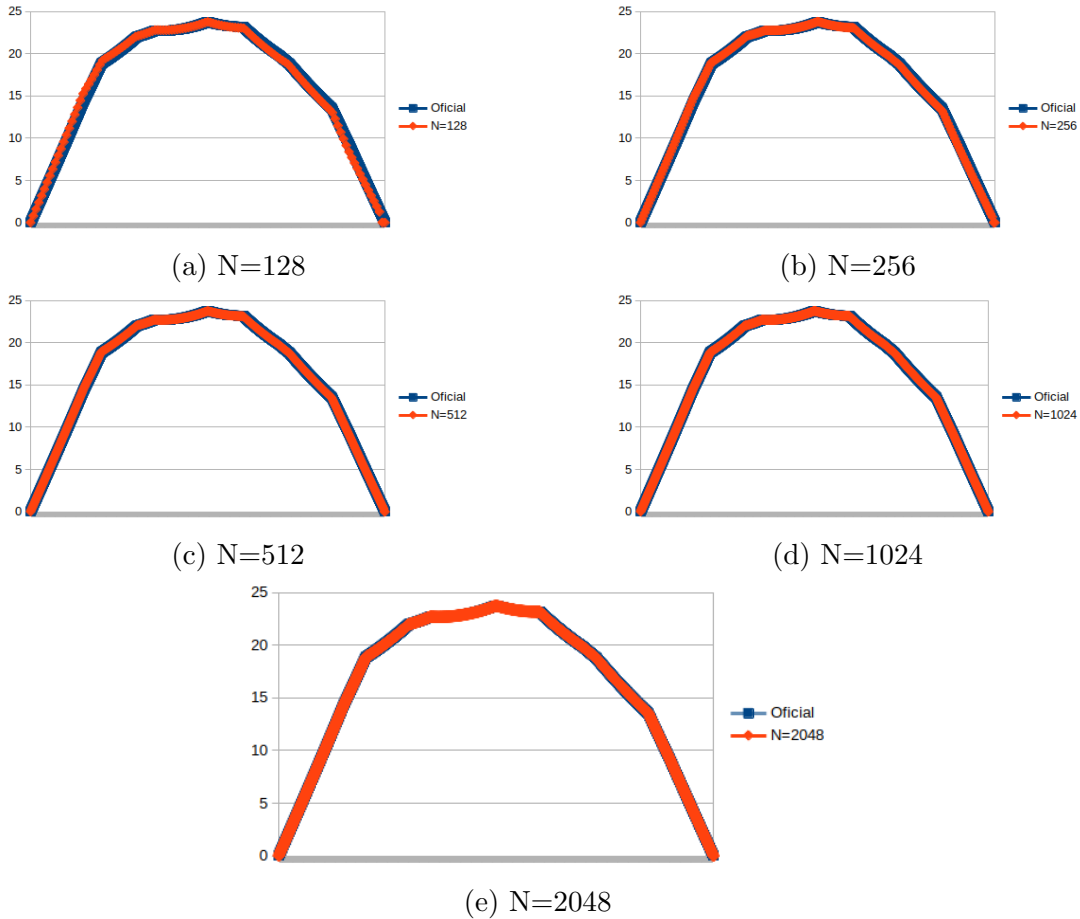


Figura 1: Comparação entre o valor Oficial de  $u_T$  e o encontrado para diferentes valores de N

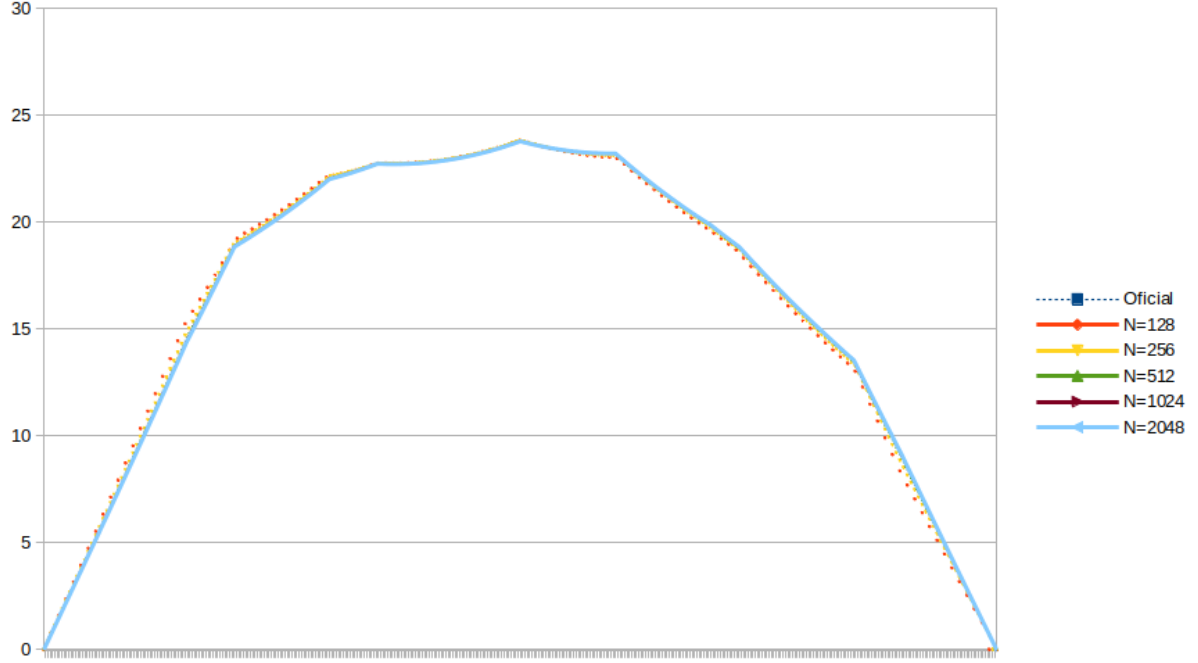


Figura 2: Comparações de  $u_T$  para os diferentes valores de  $N$

#### 2.2.4 Item (d)

Nesse teste as considerações são as mesmas do item anterior, porém os dados de temperatura final foram tratados com um ruído aleatório, descrito pela equação:

$u_{T\_ruído}(x_i) = u_T(x_i) \cdot (1. + r\epsilon)$ , onde  $\epsilon = 0.01$  e  $r$  é um número randômico entre  $-1$  e  $1$ .

[a]	N=128	N=256	N=512	N=1024	<i>N=2048</i>
<b>a1</b>	2,86	1,62	1,19	1,11	<i>0,98</i>
<b>a2</b>	3,85	4,66	4,96	4,93	<i>5,03</i>
<b>a3</b>	1,87	2,11	1,99	1,99	<i>1,97</i>
<b>a4</b>	1,55	1,37	1,47	1,50	<i>1,52</i>
<b>a5</b>	2,28	2,32	2,21	2,20	<i>2,20</i>
<b>a6</b>	3,16	3,00	3,08	3,09	<i>3,09</i>
<b>a7</b>	-0,14	0,57	0,56	0,66	<i>0,59</i>
<b>a8</b>	1,96	1,38	1,36	1,25	<i>1,31</i>
<b>a9</b>	4,71	4,22	4,01	3,93	<i>3,93</i>
<b>a10</b>	-1,18	-0,25	0,22	0,42	<i>0,48</i>

Tabela 3: Intensidades encontradas para diferentes valores de  $N$ , com  $u_T$  tratado com ruído (item d)

Do mesmo modo que no item anterior podemos calcular o erro quadrático para cada



valor de  $N$  segundo a equação 4. "E" foi calculado com os valores de  $u_T$  originais do arquivo, já "E\_ruido" com  $u_{T\_ruido}$  definido anteriormente.

	N=128	N=256	N=512	N=1024	N=2048
<b>E</b>	0,1741790	0,0855369	0,0381527	0,0144684	0,0080491
<b>E_ruido</b>	0,2004690	0,1332570	0,1085960	0,1028760	0,1026950

Tabela 4: Erros quadráticos para diferentes valores de  $N$ . "E" corresponde ao erro calculado entre os valores encontrados (encontrados usando os valores tratados com ruído) e os valores originais fornecidos. "E\_ruido" corresponde ao erro calculado entre os valores encontrados e os valores originais tratados com ruído.

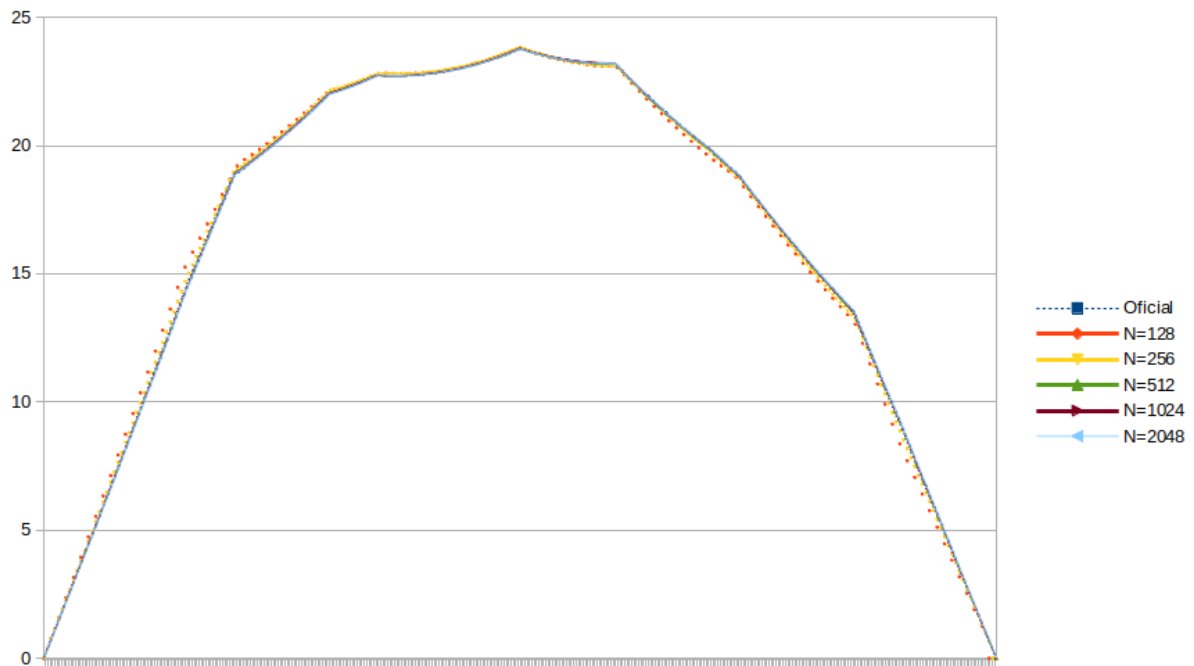


Figura 3: Comparações de  $u_T$  para os diferentes valores de  $N$

Observamos que o valor das intensidades é ligeiramente diferente do obtido sem o tratamento com ruído, tendo erros quadráticos mais elevados. Desse modo podemos concluir que o sistema é robusto para pequenas variações, mas pode ter seu valor final de intensidades deslocado.

### 3 Referências

[1] Equipe de Métodos Numéricos. Um problema inverso para obtenção de distribuição de Temperatura - MAP3121, 2020.